

7. Referências bibliográficas

- [1] Dugan, R.C., McGranaghan, M.F., and Beaty, W., **Electrical Power Systems Quality**, McGraw-Hill, 1996.
- [2] Noda, T., **Identification of a Multiphase Network Equivalente for Electromagnetic Transient Calculations Using Partitioned Frequency Response**, IEEE Trans. Power Del., vol. 20, no. 2, P. 1134-1142, Abril 2005.
- [3] Duque, C.A., **Testes de Relés de Proteção em Regime Transitório**, Dissertação de Mestrado, DEE, PUC/Rio, 1990.
- [4] Dommel, H.W., **Eletromagnetic Transient Program – Reference Manual (EMTP Theory Book)**, Bonneville Power Administration, 1986.
- [5] Balabanian, N.; Bickart, T.A. **Electrical Network Theory**. John Wiley & Sons. 1969.
- [6] Santos, M.A.C., **Simulação Digital no Tempo de Redes Elétricas Lineares Excitadas por Senóides no Entorno de uma Frequência**, Dissertação de Mestrado, DEE-PUC-RJ, 1999.
- [7] Bialko, M.; Crampagne, R.; Andreu, D. **Basic Methods for Microcomputer-Aided Analysis of Electronic Circuits**. Prentice Hall, 1995.
- [8] Chua, L.M.; Lin, P.M. **Computer-Aided Analysis of Electronic Circuits**. Prentice Hall, Inc. 1975.
- [9] Faceroli, S.T., **Simulação para Análise Transitória de Redes Elétricas de Potência**. Tese de Doutorado. DEE-PUC-RJ. 2002.
- [10] Szczupak, J., **Electrical Power Network Pollution Estimation**. Transmission and Distribution Conference and Exposition: Latin America, 2004 IEEE/PES. 8-11 Nov. 2004 P. 771 – 775.
- [11] Desoer, C.A.; Kuh, E.S. **Basic Circuit Theory**. McGraw-Hill Book Co. New York. 1966.
- [12] DeRusso, P.M.; Roy, R.J.; Close, C.M. **State Variables for Engineers**. John Wiley & Sons. New York. 1965.
- [13] Gupta, S.C. **Transform and State Variable Methods in Linear Systems**. John Wiley & Sons. New York. 1966.
- [14] Blaquiere, A. **Nonlinear System Analysis**. Academic Press. New York. 1966.

- [15] Chua, L.A., et al., **Linear and Nonlinear Circuits**, McGraw-Hill, 1987.
- [16] Shampine, L. F., M. W. Reichelt, **The MATLAB ODE Suite**, SIAM Journal on Scientific Computing, Vol. 18, 1997, pp 1-22.
- [17] Shampine, L. F., M. W. Reichelt, J.A. Kierzenka, **Solving Index-1 DAEs in MATLAB and Simulink**, SIAM Review, Vol. 41, 1999, pp 538-552.
- [18] L. Nagel, **SPICE: A Computer Program to Simulate Semiconductor Circuits**. UCB/ERL M520, May 1975.
- [19] Humpage, W.D., **Z-transform Electromagnetic Transient Analysis in Power Systems**, Proc. IEE-C, Gen. Trans. and Dist., 127, pp. 370-378, 1980.
- [20] Marti, J.R., **Accurate Modelling of Frequency-Dependent Transmission Lines in Electromagnetic Transient Simulation**, IEEE Trans. on Power App. And Systems, vol. PAS-101, n _ 1, pp. 147-155, January 1983.
- [21] Duque, C.A., **Técnicas de Simulação de Redes Elétricas e Linhas de Transmissão**, Tese de Doutorado, DEE, PUC/Rio, 1997.
- [22] Fettweis, A. **Wave Digital Filters: Theory and Practice**, Proceedings of the IEEE, vol. 74, n.2, pp.270-327, Fev. 1986.
- [23] Mitra, S.K. **Digital Signal Processing: A Computer Based Approach**. 3rd ed. McGraw-Hill, 2006.
- [24] Oppenheim, A.V., and Schafer, R.W., **Discrete-Time Signal Processing**, Prentice Hall, Englewood Cliffs, New Jersey, 1989.
- [25] Hesse, W.H; **Electromagnetic and Electostatic Transmission Line Parameters by Digital Computer**. IEEE Trans. on Power App. And Systems. vol. PAS-92, n° 6, pp. 282-291, June 1963.
- [26] Humpage, W.D., **Z-transform Electromagnetic Transient Analysis in High-Voltage Networks**, Peter Peregrinus Ltd., 1982.

Apêndice A Modelo de linhas de transmissão a parâmetros distribuídos

Considere o circuito equivalente de uma seção diferencial de uma linha de transmissão com condutor simples, mostrado na Figura (A.1).

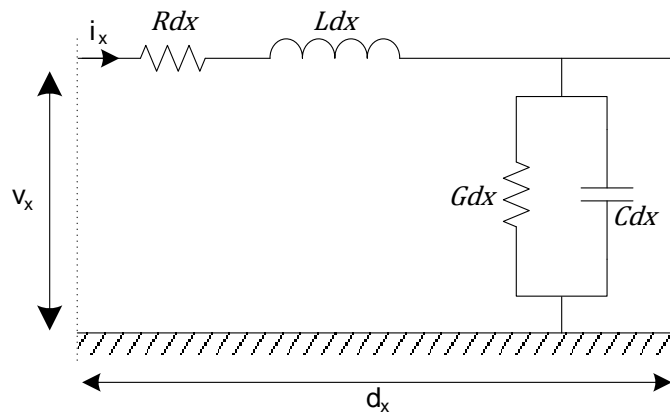


Figura A.1 – Linha de transmissão com condutor simples

As equações no domínio do tempo da linha de transmissão apresentada na Figura (A.1) podem ser escritas como

$$\begin{aligned} -\frac{\partial V(x,t)}{\partial x} &= R \cdot I(x,t) + L \frac{\partial I(x,t)}{\partial t} \\ -\frac{\partial I(x,t)}{\partial x} &= G \cdot V(x,t) + C \frac{\partial V(x,t)}{\partial t} \end{aligned} \quad (\text{A.1})$$

onde $V(x,t)$ e $I(x,t)$ são, respectivamente, a tensão e a corrente da linha de transmissão. Os parâmetros R e L são dependentes da frequência.

Para cálculo de transitórios, a aproximação para a solução das equações de linha é feita na frequência, como descrito pelas equações (A.2)

$$\begin{aligned} -\frac{dV_x(\omega)}{dx} &= Z(\omega) \cdot I_x(\omega) \\ -\frac{dI_x(\omega)}{dx} &= Y(\omega) \cdot V_x(\omega) \end{aligned} \quad (\text{A.2})$$

onde $Z(\omega)$ e $Y(\omega)$ são as matrizes de impedância série e admitância shunt por unidade de comprimento, respectivamente. Derivando (A.2) em relação à x , chega-se a

$$\begin{aligned} \frac{d^2V_x(\omega)}{dx^2} &= Z(\omega) \cdot Y(\omega) \cdot V_x(\omega) \\ \frac{d^2I_x(\omega)}{dx^2} &= Y(\omega) \cdot Z(\omega) \cdot I_x(\omega) \end{aligned} \quad (\text{A.3})$$

As equações (A.3) descrevem o comportamento das ondas eletromagnéticas em função do comprimento e da frequência. Resolvendo estas equações,

$$\begin{aligned} V(\omega, x) &= A_1 \cdot e^{\sqrt{Z \cdot Y} \cdot x} + A_2 \cdot e^{-\sqrt{Z \cdot Y} \cdot x} \\ I(\omega, x) &= \frac{A_1}{\sqrt{Z/Y}} \cdot e^{\sqrt{Z \cdot Y} \cdot x} - \frac{A_2}{\sqrt{Z/Y}} \cdot e^{-\sqrt{Z \cdot Y} \cdot x} \end{aligned} \quad (\text{A.4})$$

onde os termos com $e^{\sqrt{Z \cdot Y} \cdot x}$ representam as ondas trafegantes progressivas, enquanto que os termos com $e^{-\sqrt{Z \cdot Y} \cdot x}$ representam os termos com propagação reversa.

Nas equações (A.4) surge a Impedância Característica da linha, dada por

$$Z_c = \sqrt{Z/Y} \quad (\text{A.5})$$

e a Constante de propagação da onda, dada por

$$\gamma = \sqrt{Z \cdot Y} \quad (\text{A.6})$$

Na realidade, a Constante de Propagação não é constante, pois varia com a frequência. Esta variável é responsável pela distorção da onda ao longo do trajeto pela linha de transmissão.

Considerando-se que em $x = 0$ tem-se $V(x) = V_1$ e $I(x) = I_1$, é possível determinar A_1 e A_2 , chegando-se às equações (A.7), chamadas Equações de Bergeron [25], que descrevem matematicamente o comportamento das ondas eletromagnéticas na linha de transmissão em regime transitório.

$$\begin{aligned} V(\omega, x) &= \frac{V_1 + Z_c \cdot I_1}{2} e^{\gamma x} + \frac{V_1 - Z_c \cdot I_1}{2} e^{-\gamma x} \\ I(\omega, x) &= \frac{V_1/Z_c + I_1}{2} e^{\gamma x} - \frac{V_1/Z_c - I_1}{2} e^{-\gamma x} \end{aligned} \quad (\text{A.7})$$

A dedução matemática apresentada acima é válida para o caso de linhas de transmissão monofásicas, onde todos os elementos das equações são escalares. Na prática, as linhas são geralmente polifásicas. Neste caso, as equações (A.3) tornam-se

$$\begin{aligned} \frac{d^2 \mathbf{V}_x(\omega)}{dx^2} &= \mathbf{Z}(\omega) \cdot \mathbf{Y}(\omega) \cdot \mathbf{V}_x(\omega) \\ \frac{d^2 \mathbf{I}_x(\omega)}{dx^2} &= \mathbf{Y}(\omega) \cdot \mathbf{Z}(\omega) \cdot \mathbf{I}_x(\omega) \end{aligned} \quad (\text{A.8})$$

O grande problema para se resolver as equações (A.8) é a presença de acoplamento mútuo entre as linhas de transmissão. Esta característica faz com que as matrizes \mathbf{Z} e \mathbf{Y} tenham elementos fora da diagonal principal não nulos. Caso estas matrizes fossem diagonais, o circuito de n fases poderia ser desmembrado em n circuitos monofásicos e as deduções anteriores seriam válidas.

Neste trabalho, optou-se pela representação no domínio dos modos. A transformação modal é uma transformação de espaços de estados que permite diagonalizar os produtos $\mathbf{Z} \cdot \mathbf{Y}$ ou $\mathbf{Y} \cdot \mathbf{Z}$, a fim de gerar um sistema de equações desacopladas. Este processo é feito através de cálculos com autovalores e autovetores associados a estes produtos como

$$\begin{aligned} \mathbf{T}_v^{-1} \cdot \mathbf{Z} \cdot \mathbf{Y} \cdot \mathbf{T}_v &= \lambda_2 \\ \mathbf{T}_i^{-1} \cdot \mathbf{Y} \cdot \mathbf{Z} \cdot \mathbf{T}_i &= \lambda_1 \end{aligned} \quad (\text{A.9})$$

Em (A.9), as matrizes $\lambda_1, \lambda_2, \mathbf{T}_i$ e \mathbf{T}_v têm ordem $n_x n$. Substituindo (A.9) em (A.8), vem

$$\begin{aligned}\frac{d^2 \mathbf{V}^M(\omega)}{dx^2} &= \lambda_2 \cdot \mathbf{V}^M(\omega) \\ \frac{d^2 \mathbf{I}^M(\omega)}{dx^2} &= \lambda_1 \cdot \mathbf{I}^M(\omega)\end{aligned}\tag{A.10}$$

onde $\mathbf{V}^M(\omega) = \mathbf{T}_v^{-1} \cdot \mathbf{V}(\omega)$ e $\mathbf{I}^M(\omega) = \mathbf{T}_i^{-1} \cdot \mathbf{I}(\omega)$. O sobrescrito M indica que a variável está no domínio dos modos. Além disso,

$$\mathbf{T}_i = (\mathbf{T}_v^{-1})^T\tag{A.11}$$

Como dito anteriormente, as linhas de transmissão multifase são desacopladas através de transformação modal e cada modo pode ser analisado separadamente como um circuito de fase simples. Desta forma as equações (A.8) podem ser consideradas separadamente como equações diferenciais escalares e sua solução final no domínio dos modos é

$$\begin{aligned}\mathbf{V}_1(\omega) - \mathbf{Z}_c(\omega) \cdot \mathbf{I}_1(\omega) &= \mathbf{F}_1(\omega)[\mathbf{V}_2(\omega) + \mathbf{Z}_c(\omega) \cdot \mathbf{I}_2(\omega)] \\ \mathbf{V}_2(\omega) - \mathbf{Z}_c(\omega) \cdot \mathbf{I}_2(\omega) &= \mathbf{F}_1(\omega)[\mathbf{V}_1(\omega) + \mathbf{Z}_c(\omega) \cdot \mathbf{I}_1(\omega)]\end{aligned}\tag{A.12}$$

onde $\mathbf{Z}_c(\omega)$ é a impedância característica, e $\mathbf{F}_1(\omega) = e^{-\gamma(\omega)L}$ é a resposta ao impulso da linha de transmissão, sendo $\gamma(\omega)$ o fator de propagação.

Com o objetivo de obter um modelo de filtros digitais para as linhas de transmissão, é necessário converter as Equações (A.12) do domínio da frequência para o domínio z . Neste caso, optou-se pelo método desenvolvido por Humpage [26] que gera as aproximações dos parâmetros diretamente no domínio discreto. As Equações (A.13) mostram a representação da linha de transmissão por onda de tensão no domínio z .

$$\begin{aligned}\mathbf{V}_1(z) - \mathbf{Z}_c(z) \cdot \mathbf{I}_1(z) &= \mathbf{F}_1(z)[\mathbf{V}_2(z) + \mathbf{Z}_c(z) \cdot \mathbf{I}_2(z)] \\ \mathbf{V}_2(z) - \mathbf{Z}_c(z) \cdot \mathbf{I}_2(z) &= \mathbf{F}_1(z)[\mathbf{V}_1(z) + \mathbf{Z}_c(z) \cdot \mathbf{I}_1(z)]\end{aligned}\tag{A.13}$$

Apêndice B Filtro supressor de harmônicos

A seguir encontra-se a função de transferência do filtro supressor de harmônicos utilizado no capítulo 5.

$$F_1(z) = 0,0149 \cdot (z^{-36} - 1) \cdot \frac{z^{-2} - 1,8126 + 1}{z^{-2} - 1,833 + 0,84} \cdot \frac{z^{-2} - 1,6383 + 1}{z^{-2} - 1,3564 + 0,46} \cdot \frac{z^{-2} - 1,4141 + 1}{z^{-2} - 0,6324 + 0,1} \quad (\text{B.1})$$

cuja resposta em frequência encontra-se na Figura (B.1).

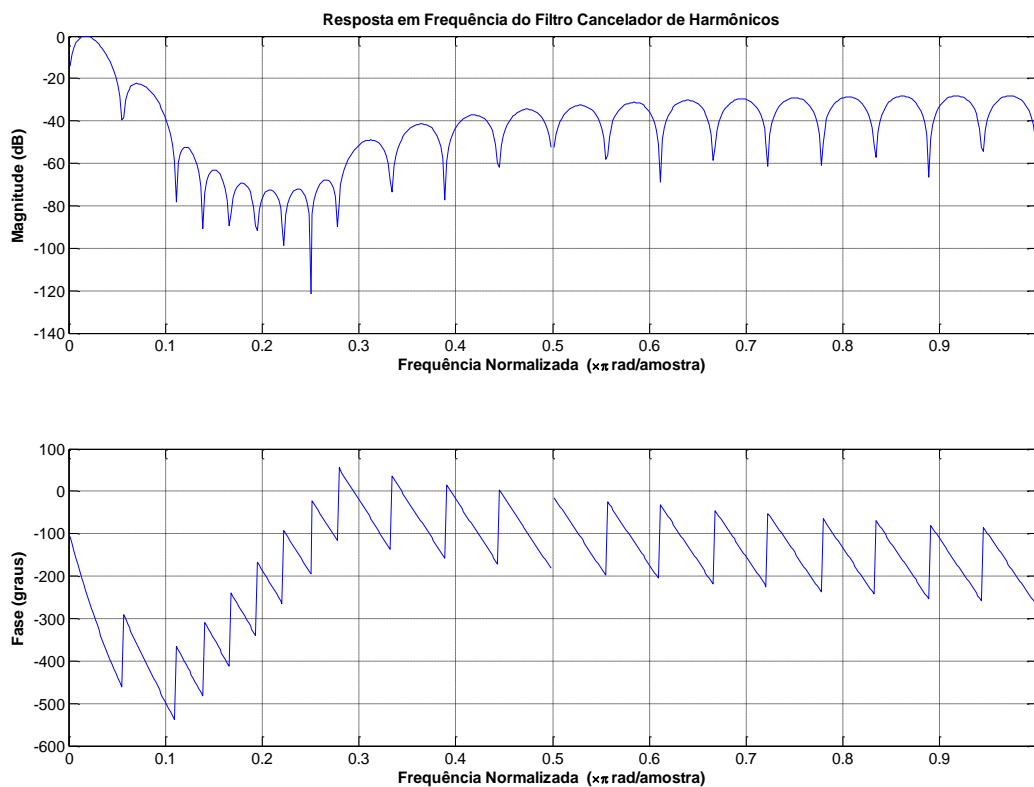


Figura B.1 – Resposta em frequência do filtro supressor de harmônicos